

## บทที่ 5

### แบบจำลองทางทฤษฎีของค่าจำเพาะการแยกสำหรับสารที่มีประจุ ในไมเซลลาร์อิเล็กโโทรไคโนทิโครามาโทกราฟ!

#### 5.1 คำนำ

ดังที่กล่าวมาแล้วในหัวข้อ 1.1.3.2 “ไมเซลลาร์อิเล็กโโทรไคโนทิโครามาโทกราฟ” (micellar electrokinetic chromatography, MEKC) เป็นประเภทหนึ่งของ CE ที่มีบัฟเฟอร์ประกอบด้วยสารลดแรงตึงผิว เช่น SDS โดยจะฟอร์มคิวเวิล์ส์ซึ่งทำหน้าที่เป็นเฟลอกท์ที่เทียน [Terabe *et al.*: 1992, Altria *et al.*: 2000, Pappas *et al.*: 2005, Iadarola *et al.*: 2008, Terabe *et al.*: 1985] MEKC เป็นเทคนิคที่ใช้อย่างกว้างขวางสำหรับแยกสารที่ไม่มีประจุและสารที่มีประจุดังมีรายงานในงานวิจัยในปี 1999 [Quirino and Terabe: 1999], 2002 [Molina and Silva: 2002], 2003 [Welsch and Michalke: 2003], 2005 [Pappas *et al.*: 2005] สำหรับการแยกสารที่ไม่มีประจุจะใช้สารลดแรงตึงผิวที่มีประจุ [Terabe *et al.*: 1992, Pappas *et al.*: 2005, Iadarola *et al.*: 2008, Terabe *et al.*: 1985 Quirino and Terabe: 1999, Terabe: 2009, Riekkola *et al.*: 1997, Ehala *et al.*: 2007, Gong *et al.*: 2006, Dubber and Kanfer: 2006] ขณะที่ใช้สารลดแรงตึงผิวที่มีหรือไม่มีประจุสำหรับแยกสารที่มีประจุ [Terabe *et al.*: 1992, Pappas *et al.*: 2005, Iadarola *et al.*: 2008, Quirino and Terabe: 1999, Terabe: 2009, Riekkola *et al.*: 1997, Mallampati *et al.*: 2005, Cesla *et al.*: 2006, Damic and Nigovic: 2009] เนื่องจากความแตกต่างของการกระจายตัวของสารในไมเซลล์และความแตกต่างของความสามารถในการเคลื่อนที่ทางไฟฟ้าประจุของสารที่มีประจุ (effective electrophoretic mobility,  $\Delta\mu$ ) จึงสามารถแยกสารใน MEKC ได้ [Altria *et al.*: 2000, Pappas *et al.*: 2005, Quirino and Terabe: 1999, Mallampati *et al.*: 2005, Iadarola *et al.*: 2005, Tellez *et al.*: 2007] โดยทั่วไปค่าการแยก (resolution,  $R_s$ ) ของสารใน CE แสดงได้ดังสมการที่ 5.1 [Giddings: 1969, Jorgenson and Lukacs: 1981]

$$R_s = \frac{\sqrt{N}}{4} \frac{\Delta\mu}{\mu + \mu_{eo}} \quad (5.1)$$

เมื่อ  $N$  คือ จำนวนเพลตทางทฤษฎีหรือประสิทธิภาพ,  $\mu$  คือ ความสามารถในการเคลื่อนที่ทางไฟฟ้าประจุของสาร,  $\Delta\mu$  คือ ความแตกต่างของ  $\mu$  หรือ  $\mu_2 - \mu_1$  สำหรับสารสองตัว และ  $\mu_{eo}$  คือ ความสามารถในการเคลื่อนที่ด้วยอิเล็กโโทรออสโนไซต์ สำหรับสารสองตัวที่มีพิษทางของ  $\mu$  ไปทาง

<sup>1</sup> งานวิจัยนี้ได้นำเสนอผลงานแบบโปสเตอร์ในที่ประชุมวิชาการระดับนานาชาติที่ ITP2010 Maryland และ APCE2010 Hong Kong และตีพิมพ์ใน Electrophoresis 32 (2011) 203-209 ดังภาคผนวก 3

เดียวกัน สมการที่ 5.1 อาจจัดรูปให้มีความสัมพันธ์กับค่าการแยกหรือ  $R_s$  ในรูปของ efficiency term, selectivity term และ mobility term ดังแสดงในสมการที่ 5.2

$$R_s = \left( \frac{\sqrt{N}}{4} \right) \left( \frac{\alpha_m - 1}{\alpha_m} \right) \left| \frac{\mu_2}{\mu + \mu_{eo}} \right| \quad (5.2)$$

เมื่อ  $\alpha_m$  คือ separation selectivity หรือ mobility selectivity ซึ่งนิยามเป็นอัตราส่วนของความสามารถและความสามารถในการเคลื่อนที่ทางไฟฟ้าของสารสองตัว เช่น  $\mu_2/\mu_1$  โดย  $|\mu_2| > |\mu_1|$

ใน MEKC ที่ใช้ normal elution mode จะมีพิษทางของความเร็วอิเล็กโทรอสโนชิส ( $v_{eo}$ ), ความเร็วของสารและความเร็วของไมเซลล์ ( $v_{mc}$ ) โดย  $|v_{eo}| > |v_{mc}|$  สมการค่าการแยกของสารที่ไม่มีประจุสามารถแสดงให้มีความสัมพันธ์กับ retention term ดังสมการที่ 5.3 [Nielsen and Foley: 1993, Pyell: 2006]

$$R_s = \left( \frac{\sqrt{N}}{4} \right) \left( \frac{\alpha_k - 1}{\alpha_k} \right) \left( \frac{k_2}{1 + k} \right) \left( \frac{1 - t_{eo}/t_{mc}}{1 + (t_{eo}/t_{mc})k} \right) \quad (5.3)$$

เมื่อ  $k$  คือ รีเทนชันแฟกเตอร์,  $\alpha_k$  คือ retention selectivity นิยามเป็นอัตราส่วนของ  $k_2/k_1$  และ  $t_{eo}$  กับ  $t_{mc}$  คือ ไมเกรชันไทม์ของ EOF marker และ micelle marker ตามลำดับ

การแยกสารที่มีประจุสมบูรณ์ใน MEKC โดยใช้ normal elution mode อาศัยความแตกต่างของการกระจายตัวของสารในไมเซลล์และความแตกต่างของความสามารถในการเคลื่อนที่ทางไฟฟ้าของสาร ค่าการแยกสามารถแสดงได้ดังสมการที่ 5.4 [Nielsen and Foley: 1993]

$$R_s = \left( \frac{\sqrt{N}}{4} \right) \left( \frac{\alpha_k - 1}{\alpha_k} \right) \left( \frac{k_2}{1 + k} \right) \left( \frac{1 + t_{eo}/t_{ep} - t_{eo}/t_{mc}}{1 + t_{eo}/t_{ep} + (t_{eo}/t_{mc})k} \right) \quad (5.4)$$

เมื่อ  $t_{ep}$  คือ ไมเกรชันไทม์ที่สัมพันธ์กับความสามารถในการเคลื่อนที่ทางไฟฟ้าของสารที่มีประจุ และในกรณีนี้  $t_{ep} = t_{ep2} = t_{ep1}$

จากสมการที่ 5.3 และ 5.4 จะแสดงให้เห็นว่า separation selectivity อาจหมายถึง retention selectivity ได้ ในกรณีสารที่วิเคราะห์มีความสามารถแตกต่างของความสามารถในการเคลื่อนที่ทางไฟฟ้า ( $\mu_0$ ) ภายใต้ภาวะที่ความเข้มข้นของสารลดลงตึงผิวน้ำในบัฟเฟอร์มีค่าเท่ากับศูนย์หรือ CZE เมื่อทำการวิเคราะห์สารดังกล่าวใน MEKC การแยกของสารจะขึ้นอยู่กับทั้ง  $k$  และ  $\mu_0$  เมื่อเปรียบเทียบการแยกสารที่มีประจุใน CZE กับ MEKC ที่มีการเติมสารลดลงตึงผิวน้ำในบัฟเฟอร์พบว่า MEKC สามารถแยกสารบางชนิดได้ดีขึ้น แต่ก็สามารถทำให้การแยกของสารบางชนิดแย่ลงได้เช่นกัน [ Iadarola et al.: 2008, Riekkola et al.: 1997, Dubber and Kanfer: 2006, Mallampati et al.: 2005,

Cesla *et al.*: 2006, Damic and Nigovic: 2009, Iadarola *et al.*: 2005, Huang *et al.*: 2005, Nhujak *et al.*: 2005, Huertas-Perez *et al.*: 2006, Huang *et al.*: 2003] ซึ่งผลดังกล่าววนั้นสอดคล้องกับผลการทดลองในการแยกไครลที่ใช้ dual cyclodextrins ซึ่งได้รายงานในงานวิจัยเราก่อนหน้านี้ [Nhujak *et al.*: 2005]

เพื่ออธิบาย separation selectivity และ electrophoretic mobility order ใน MEKC สำหรับสารที่มีประจุที่มี  $\mu_0$  แตกต่างกัน งานวิจัยนี้มีจุดประสงค์เพื่อสร้างแบบจำลองทางทฤษฎีของ separation selectivity ใน MEKC ที่สัมพันธ์กับตัวแปรที่ไม่มีหน่วยของ mobility selectivity ใน CZE และ retention selectivity ใน MEKC และเปรียบเทียบ separation selectivity ที่ได้จากการทดลองและที่ได้จากการทำนายใน MEKC โดยทำการทดลองด้วย normal elution mode และใช้บัฟเฟอร์เป็น 10 mM ไฮโดรเดียมบอร์ต (pH 10.2) ที่มีการเติม SDS เป็นสารลดแรงตึงผิว โดยมีอัตราการเปลี่ยนแปลงเป็นสารทดสอบ

## 5.2 การทดลอง

### 5.2.1 เครื่องมือ

- 1) เครื่องแคปิลารีอิเล็กโทรฟอริซิต ของบริษัท Beckman รุ่น MDQ
- 2) เครื่องวัด pH (pH meter) ของ Metrohm รุ่น 744
- 3) เครื่อง sonication ของ ultrasonic steri-cleaner
- 4) เครื่องผลิตน้ำ Milli Q

### 5.2.2 สารเคมี

- 1) อัคคิลพาราเบน (PB) ได้แก่ isoparaben (IP), ethylparaben (EP), propylparaben (PP) และ butylparaben (BP) ของบริษัท Sigma-Aldrich
- 2) ไฮเดรียม ไฮเดรียมบอร์ต (DB) ของบริษัท Sigma-Aldrich
- 3) โซเดียม ไฮเดรียมซัลฟेट (SDS) ของบริษัท Sigma
- 4) ไฮโดรเดียมบอร์ต (Na<sub>2</sub>B<sub>4</sub>O<sub>7</sub>.10H<sub>2</sub>O) ของบริษัท Fluka
- 5) โซเดียมไฮดรอกไซด์ (NaOH) ของบริษัท Fluka

### 5.2.3 การวิเคราะห์ด้วยเครื่อง CE

ภาวะของ CE ที่ใช้ในการวิเคราะห์ ดังต่อไปนี้ คือ (ในกรณีที่ที่แตกต่างไปจากนี้จะระบุ)

- |             |  |
|-------------|--|
| เครื่อง CE  | : Beckman รุ่น MDQ   |
| แคปิลารี    | : uncoated fused silica capillary 50 μm i.d. × 40.2 cm (30 cm ถึงเครื่องตรวจวัด) |
| การบรรจุสาร | : อัดความดัน 0.5 psi เป็นเวลา 3 วินาที   |
| การตรวจวัด  | : photodiode array ช่วง 190-300 nm และตรวจวัดที่ 220 nm                          |

Capillary rinse : ก่อนการทดลองแต่ละวัน ล้างภายใน capsule ด้วยเมทานอล, 0.1 M โซเดียมไฮดรอกไซด์และน้ำอุ่นย่างละ 15 นาที และบัฟเฟอร์ 15 นาที และก่อนการวิเคราะห์แต่ละครั้งล้างด้วย 0.1 M โซเดียมไฮดรอกไซด์และบัฟเฟอร์อุ่นย่างละ 2 นาที

อุณหภูมิของ capsule : 25°C

ศักย์ไฟฟ้า : 15 kV

BGE : 10 mM borate buffer pH 10.2 ที่ประกอบด้วย SDS เป็นสารลดแรงตึงผิว

#### 5.2.4 การเตรียมบัฟเฟอร์

บัฟเฟอร์ที่ใช้ในการทดลองหาค่าความสามารถในการเคลื่อนที่ของสารมี 2 ระบบ คือ

- 1) บัฟเฟอร์ใน CZE ประกอบด้วย 10 mM  $\text{Na}_2\text{B}_4\text{O}_7$ , ปรับ pH เป็น 10.2 ด้วย 1.0 M NaOH
- 2) บัฟเฟอร์ใน MEKC ประกอบด้วย 20-60 mM SDS ใน 10 mM  $\text{Na}_2\text{B}_4\text{O}_7$ , pH 10.2

บัฟเฟอร์ทั้งสองระบบเตรียมโดยใช้น้ำ Milli Q จากนั้นนำไป sonicate ประมาณ 30 นาทีแล้วกรองบัฟเฟอร์ผ่าน 0.45  $\mu\text{m}$  PTFE filter ก่อนการวิเคราะห์

#### 5.2.5 การเตรียมสารทดสอบ

เตรียม stock solution ความเข้มข้น 1000 ppm ของสารทดสอบโดยละลายสารทดสอบแต่ละตัวแยกกันด้วยอะซิโตในไทรอลจำนวน 5 mL จากนั้นเจือจางแต่ละสารละลายด้วยน้ำ Milli Q ในขวดแคปซิลขนาด 10 mL สำหรับ stock solution ของ DB และ thiourea เตรียมโดยละลายสารแต่ละตัวแยกกันด้วยเอทานอลและเจือจางให้ความเข้มข้น 20000 ppm ด้วยน้ำ Milli Q ส่วนสารละลายน้ำตราชูนประกอบด้วย 20-60 ppm ของสารทดสอบ, 30 ppm thiourea และ 150 ppm DB เตรียมได้โดยเจือจาง stock solution ด้วย 1.0 mM borate buffer หลังจากนั้นนำไปกรองผ่าน 0.45  $\mu\text{m}$  PTFE filter ก่อนการวิเคราะห์

### 5.3 ผลการทดลองและวิจารณ์

#### 5.3.1 แบบจำลองทางทฤษฎี ของ separation selectivity ใน MEKC สำหรับสารที่มีประจุ

ความสามารถในการเคลื่อนที่ทางไฟฟ้าของสารที่มีประจุสองตัวใน MEKC ( $\mu_{\text{MEKC}}$ ) แสดงดังสมการที่ 5.5 และ 5.6 [Nielsen and Foley: 1993]

$$\mu_{(\text{MEKC},1)} = \left( \frac{\mu_{0,1} + k_1 \mu_{\text{mc}}}{1 + k_1} \right) \quad (5.5)$$

$$\mu_{(\text{MEKC},2)} = \left( \frac{\mu_{0,2} + k_2 \mu_{\text{mc}}}{1 + k_2} \right) \quad (5.6)$$

เมื่อ  $\mu_0$  คือ ความสามารถในการเคลื่อนที่ทางไฟฟ้าของสารภายในไฟฟ้าที่มีความเข้มข้นของ SDS เท่ากับศูนย์หรือ CZE และ  $\mu_{mc}$  คือความสามารถในการเคลื่อนที่ทางไฟฟ้าของไมเซลล์ marker ตัวที่ 1 และ 2 หมายถึงสารตัวที่ 1 และ 2 ตามลำดับ separation selectivity ใน MEKC ( $\alpha_{MEKC}$ ) นิยามเป็นอัตราส่วนของ  $\mu_{MEKC}$  เมื่อ  $k_2 \geq k_1 > 0$  สามารถจัดรูปได้ดังสมการที่ 5.7

$$\alpha_{MEKC} = \alpha_{CZE} \left( \frac{\beta + \frac{\alpha_k}{\alpha_{CZE}} k_1}{\beta + k_1} \right) \left( \frac{(1+k_1)}{1+\alpha_k k_1} \right) \quad (5.7)$$

เมื่อ  $\alpha_{CZE}$  คือ mobility selectivity ใน CZE หรืออัตราส่วนของ  $\mu_0$ , เช่น  $\mu_{0,2}/\mu_{0,1}$ ,  $\alpha_k$  คือ retention selectivity ของสารลดแรงตึงผิว SDS สำหรับสารที่มีประจุสองตัว หรืออัตราส่วนของ  $k$ , เช่น  $k_2/k_1$ , และ  $\beta$  อัตราส่วนของ  $\mu_{0,1}/\mu_{mc}$  โดยที่  $\alpha_k \geq 1.0$  เสมอ สำหรับค่า  $\alpha_{CZE} > 1.0$  หมายถึงลำดับการเคลื่อนที่ของสารซึ่งมี  $|\mu|$  ใน CZE และ  $k$  ใน MEKC เมื่อกัน เช่น  $k_2 > k_1$  และ  $|\mu_2| > |\mu_1|$ , ในขณะที่  $\alpha_{CZE} < 1.0$  หมายถึงลำดับการเคลื่อนที่ของสารซึ่งมี  $|\mu|$  ใน CZE และ  $k$  ใน MEKC กลับกัน เช่น  $k_2 > k_1$  ในขณะที่  $|\mu_2| < |\mu_1|$

จากสมการที่ 5.7 และงานวิจัยที่ผ่านมาของกลุ่มเราก็ยังกับแบบจำลองทางทฤษฎีของ separation selectivity สำหรับการแยกไครัลด้วย dual cyclodextrins [Nhujak et al.: 2005] สามารถเสนอแบบจำลองทางทฤษฎีของ  $\alpha_{MEKC}$  สำหรับสารที่มีประจุสองตัวใน MEKC ได้ 4 แบบ ดังแสดงในตารางที่ 5.1 โดยอ้างอิงตามช่วงของค่า  $\alpha_{CZE}$ ,  $\alpha_k$ ,  $\rho$  และลำดับของค่า  $|\mu|$  ใน CZE และ  $k$  ใน MEKC สำหรับการทำนายค่าของ  $\alpha_{MEKC}$  สำหรับสารที่มีประจุสองตัว ค่า  $\beta$  ในสมการที่ 5.7 ประมาณให้มีค่าเท่ากันเท่ากับ 0.5 รูปที่ 5.1 แสดงผลลัพธ์ของ  $\alpha_{MEKC}$  model Types I–III กับ  $k$ , ซึ่ง การเพิ่มค่า  $k$  สามารถทำได้โดยการเพิ่มความเข้มข้น SDS ([SDS]) ในบัฟเฟอร์ของ MEKC

ตารางที่ 5.1 แบบจำลองทางทฤษฎี ของ separation selectivity ใน MEKC ( $\alpha_{MEKC}$ )

Type	Order of $ \mu $ in CZE and $k$ in MEKC	$\alpha_{CZE}$	$\alpha_k$	$\rho$	Assumed values		
					$\alpha_{CZE}$	$\alpha_k$	$\beta$
I	Same	$\alpha_{CZE} \geq 1$	$\alpha_k > \alpha_{CZE} \geq 1$	$\rho > 1$	1.1	1.2–3.3	0.5
II	Same	$\alpha_{CZE} > 1$	$\alpha_{CZE} \geq \alpha_k \geq 1$	$\rho \leq 1$	1.5	1.0–1.5	0.5
III	Reversed	$\alpha_{CZE} < 1$	$\alpha_k \geq 1 > \alpha_{CZE}$	$\rho > 1$	0.8	1.0–6.4	0.5
IV	Co-migration	$\alpha_{CZE} = 1$	$\alpha_k = \alpha_{CZE} = 1$	$\rho = 1$	–	–	0.5

จากแบบจำลอง  $\alpha_{MEKC}$  แบบที่ 1 ในรูปที่ 5.1a สำหรับค่า  $\rho$  ที่แน่นอนได้ ๆ ยกเว้น  $\rho \approx 1.0$  พบว่าค่า  $\alpha_{MEKC}$  มีค่าเพิ่มขึ้นจนถึงค่าสูงสุดเมื่อ  $k_1$  มีค่าเพิ่มขึ้น จากนั้นมีค่าลดลงที่ค่า  $k_1$  สูงขึ้น สำหรับค่า  $k_1$  ค่าหนึ่ง ๆ เมื่อค่า  $\alpha_k$  มีค่าเพิ่มขึ้นจะได้ค่า  $\alpha_{MEKC}$  ที่สูงขึ้น สำหรับช่วงของค่า  $k_1$  ที่สนใจ พบว่าค่า  $\alpha_{MEKC}$  สูงสุดจะลดลงเมื่อค่า  $\alpha_k$  เพิ่มขึ้น ดังนั้นแบบจำลอง  $\alpha_{MEKC}$  แบบที่ 1 แสดงลำดับ

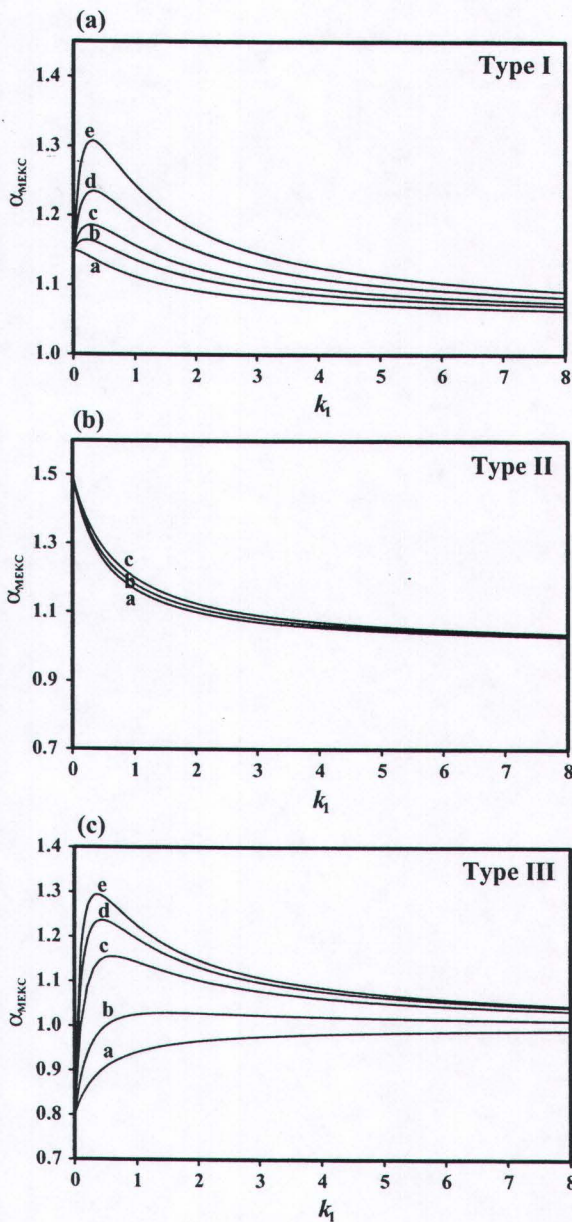
เหมือนกันของค่า  $|\mu|$  ใน CZE และ  $k$  ใน MEKC ของสารที่มีประจุ และเมื่อค่า  $\alpha_k$  สูงกว่าค่า  $\alpha_{CZE}$  นั่นคือสามารถเพิ่ม  $\alpha_{MEKC}$  สำหรับสารที่มีประจุสองตัวใน MEKC ได้ ในการทรงกันขั้นกับแบบที่ 1 พบว่าแบบจำลอง  $\alpha_{MEKC}$  แบบที่ 2 ( $\alpha_k \leq \alpha_{CZE}$ ) ในรูปที่ 5.1b แสดงค่า  $\alpha_{MEKC}$  มีค่าลดลงเมื่อเพิ่มค่า  $k_1$  แสดงให้เห็นการแยกที่เยลลงของสารที่มีประจุสองตัว สำหรับลำดับที่สลับกันของค่า  $|\mu|$  ใน CZE และ  $k$  ใน MEKC ของสารที่มีประจุแสดงในรูปที่ 5.1c ในแบบจำลอง  $\alpha_{MEKC}$  แบบที่ 3 ซึ่งแบบจำลองจะเริ่มจากค่า  $\alpha_{MEKC}$  ที่น้อยกว่า 1.0 ( $1/\alpha_{MEKC} > 1$ ) และเข้าใกล้ 1.0 (การแยกที่ไม่ดี) ที่  $k_1$  เพิ่มขึ้น จากนั้นมีค่ามากกว่า 1.0 (การแยกดีขึ้น) เมื่อเพิ่มค่า  $k_1$  มากขึ้นที่ค่า  $\alpha_{MEKC}$  เท่ากับ 1.0 ค่า  $k_1$  มีค่าดังสมการที่ 5.8

$$k_1 = \frac{(1 - \alpha_{CZE})}{(\alpha_{CZE} - \alpha_k) + (\alpha_k - 1)/\beta} \quad (5.8)$$

เมื่อค่า  $\alpha_k$  มีค่าน้อย ๆ ที่ค่า  $k_1$  สูงขึ้นจะได้ค่า  $\alpha_{MEKC}$  มีค่าเท่ากับ 1.0 ซึ่งสอดคล้องกับเส้นกราฟ ถ่างสุดของแบบจำลอง  $\alpha_{MEKC}$  แบบที่ 3 ซึ่งมีค่า  $\alpha_{MEKC}$  เท่ากับ 0.99 ที่ค่า  $k_1$  เพิ่มขึ้น ดังแสดงในรูปที่ 5.1c เป็นที่สังเกตว่าสำหรับค่าทางทฤษฎีของ  $\alpha_{CZE}$  หรือ  $\alpha_{MEKC}$  น้อยกว่า 1.0 ค่าในทางปฏิบัติจะมีค่าเท่ากับ  $1/\alpha_{CZE}$  หรือ  $1/\alpha_{MEKC}$  ดังนั้นการเพิ่มขึ้นของค่า  $k_1$  อาจทำให้เกิดการสลับลำดับของความสามารถในการเคลื่อนที่ของไฟฟ้าของสารที่มีประจุสองตัวได้ใน MEKC สำหรับแบบจำลอง  $\alpha_{MEKC}$  แบบที่ 3 ( $\alpha_k = 1.0$  และ  $\alpha_{CZE} = 1.0$ ) หมายถึง ไม่เกิดการแยกของสารสองที่มีประจุสองตัว

จากรูปที่ 5.1 แบบจำลองทางทฤษฎีของ  $\alpha_{MEKC}$  สามารถอธิบายการแยกสารที่มีประจุสองตัว โดยเมื่อค่า  $\alpha_{MEKC}$  เพิ่มขึ้นจะให้การแยกของสารดีขึ้น สำหรับแบบจำลอง  $\alpha_{MEKC}$  แบบที่ 1 ( $\alpha_k > \alpha_{CZE}$ ) หรือแบบจำลอง  $\alpha_{MEKC}$  แบบที่ 2 ( $\alpha_k >> \alpha_{CZE}$ , or  $\alpha_k > 1/\alpha_{CZE}$ ) separation selectivity ใน MEKC จะมีค่ามากกว่าใน CZE ที่ค่า  $k_1$  ที่เหมาะสม

ในทางทฤษฎีนี้ทิศทางของ EOF และความเร็วทั้งหมดจะไม่ส่งผลกระทบต่อความสามารถในการเคลื่อนที่ทางไฟฟ้าของสารและไมเซลล์ รวมทั้งรีเทนชันแฟกเตอร์ของสารในไมเซลล์ จากการที่ค่า  $\alpha_m$  และ  $\alpha_k$  ไม่แปรตามทิศทางของความเร็วที่กล่าวข้างต้น ดังนั้นแบบจำลอง  $\alpha_{MEKC}$  ในงานวิจัยนี้สามารถใช้สำหรับ MEKC ที่เป็น normal mode, reversed mode และ restricted mode ซึ่งแต่ละ mode นี้ได้แบ่งตามทิศทางของ EOF และความเร็วทั้งหมดโดยรายละเอียดได้กล่าวไว้ใน [Pyell: 2006]



รูปที่ 5.1 แบบจำลองทางทฤษฎีของ  $\alpha_{MEKC}$  ที่ได้จากการทำนายสำหรับสารที่มีประจุสองตัว คำนวณโดยใช้สมการที่ 5.7 และข้อมูลในตารางที่ 5.1 ตัวแปร  $a-e$  แทนค่าของ  $\alpha_k$  สำหรับ (a) 1.2, 1.4, 1.7, 2.2 และ 3.3 ตามลำดับ (b) 1.0, 1.2 และ 1.5 ตามลำดับ และ (c) 1.0, 1.6, 3.2, 4.8 และ 6.4 ตามลำดับ

### 5.3.2 ค่า $\alpha_{MEKC}$ ที่ได้จากการทดลองและค่าที่ได้จากการทำนายสำหรับสารที่มีประจุลบใน MEKC

ภายใต้ภาวะ normal elution mode โดยใช้สารลดแรงตึงผิวเป็น SDS ซึ่งมีประจุลบ

ในงานวิจัยนี้สารทดสอบเป็นสารประกอบพาราเบนได้แก่ IP, BP, PP และ EP ซึ่งเป็นกรดอ่อนที่มี  $\text{HO-C}_6\text{H}_4\text{COOR}$  ใน basic buffer ที่มี  $\text{pH} > \text{p}K_a$  ของพาราเบน สารประกอบพาราเบนเหล่านี้จะสามารถแตกตัวได้ประจุลบ มีค่า  $\text{p}K_a$  ปรากฏเท่ากับ 8.80, 7.98, 8.00 และ 7.97 ตามลำดับ (ค่าอ้างอิงสำหรับ IP เท่ากับ 9.2 [Pirselova *et al.*: 1996] และสำหรับพาราเบนตัวอื่นๆ เท่ากับ 8.4 [Wilson and Gisvold: 1998]) สำหรับค่า  $\text{p}K_a$  ปรากฏนี้สามารถหาได้จากการวัดค่าความสามารถใน

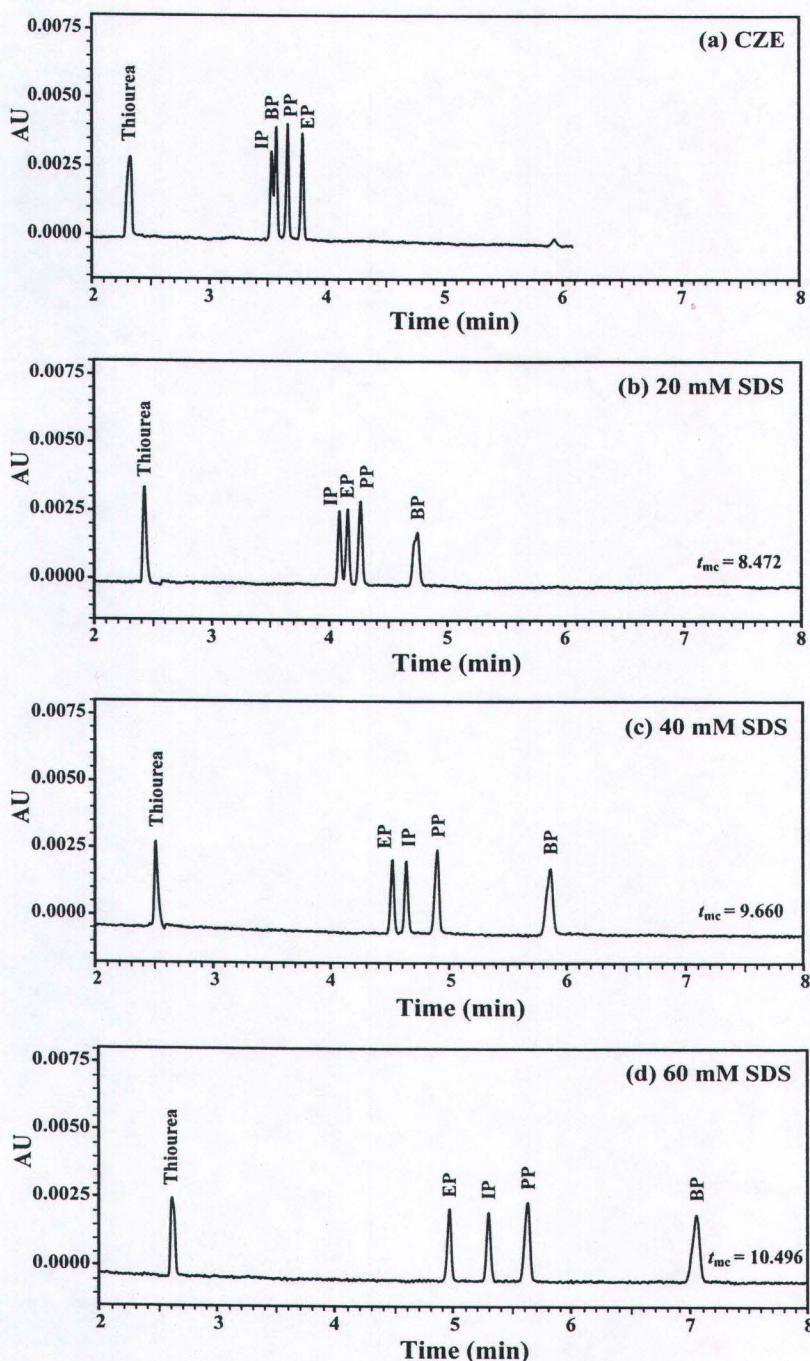
การเคลื่อนที่ทางไฟฟ้าของสารปราฏ ( $\mu_{eff}$ ) ใน CZE ภายใต้บัฟเฟอร์ที่ประกอบด้วย 10 mM  $Na_2B_4O_7$  ที่ค่า pH ต่าง ๆ ตั้งแต่ 7.8 ถึง 10.2 งานนี้เขียนกราฟเส้นตรงของความสัมพันธ์ระหว่าง  $1/\mu_{eff}$  และ  $10^{-PH}$  ( $[H_3O^+]$ ) และหาค่า  $pK_a$  จาก  $\log$  (slope/Y-intercept) [Jerez et al.: 2009] สำหรับบอเรตบัฟเฟอร์ pH 10.2 ที่ใช้เพื่อทำให้สารทดสอบแตกตัวเป็นประจุลบอย่างสมบูรณ์ด้วยคีริการแตกตัวเท่ากับ 0.96 สำหรับ IP และ 0.99 สำหรับพาราเบนตัวอื่นๆ ซึ่งคีริการแตกตัวคำนวณโดยใช้พารามิเตอร์ต่าง ๆ ภายใต้ภาวะ CE ที่ใช้กดลงและใช้สมการคีริการแตกตัวซึ่งได้มีรายงานไว้ก่อนหน้านี้ [Nielsen and Foley: 1993]

เพื่อที่จะสามารถนำข้อมูลของ  $\alpha_{MEKC}$  สำหรับสารที่มีประจุสองตัวใน MEKC จะต้องรู้พารามิเตอร์ต่างๆ คือค่า  $\alpha_{CZE}$  ใน CZE และค่า  $\alpha_k$ ,  $k$  ใน MEKC รูปที่ 5.2 แสดงการแยกของพาราเบนโดยใช้ภาวะที่ไม่มี SDS หรือ CZE และภาวะที่มี SDS หรือ MEKC ซึ่งมีค่า [SDS] ต่าง ๆ (20-60 mM) จากรูปที่ 5.1a คือการแยกใน CZE ซึ่งมีเวกเตอร์ของความสามารถในการเคลื่อนที่ทางไฟฟ้าของพาราเบนที่มีประจุลบมีทิศทางตรงข้ามกับเวกเตอร์ของ EOF มีลำดับการเคลื่อนที่ของสาร EP > PP > BP > IP และมีค่า  $\mu_{eff}$  เท่ากับ -2.25, -2.13, -2.03 และ  $-1.97 \times 10^{-8} m^2 V^{-1} s^{-1}$  ตามลำดับ ดังนั้นลำดับของค่า  $|\mu|$  คือ EP > PP > BP > IP ส่วนค่า  $|\mu|$  ของ IP ที่มีค่าน้อยกว่าพาราเบนอื่นๆ อาจเนื่องมาจากการแตกตัวที่น้อยกว่าและ/หรือขนาดของไซโตรไดนามิกที่มีขนาดใหญ่กว่า

ในทางทฤษฎีสำหรับการแยกสารที่ไม่มีประจุใน MEKC ภายใต้ภาวะ normal elution mode โดยใช้สารลดแรงตึงผิวที่เป็นประจุลบ พฤติกรรมการเคลื่อนที่ของสารขึ้นอยู่กับค่า  $k$  ของสารเท่านั้น คือสารที่มีค่า  $k$  มากกว่าจะใช้เวลาในการวิเคราะห์นานกว่า อีกทั้งตามการแยกสารที่มีประจุใน MEKC ภายใต้ภาวะข้างต้นนี้ พฤติกรรมการเคลื่อนที่ของสารขึ้นอยู่กับค่า  $\mu$  และ  $k$  ของสารที่วิเคราะห์แต่ละตัว ทำให้ยากต่อการทำนายลำดับการเคลื่อนที่ของ migration time หรือ  $\mu_{eff}$  ของสารใน MEKC รีเทนชันแฟกเตอร์ ( $k$ ) คำนวณจากอิเล็กโทรฟิโรแกรมของ MEKC และใช้สมการที่ 5.9 [Tellez et al.: 2007, Nielsen and Foley: 1993, Tellez et al.: 2007]

$$k = \frac{\mu_{MEKC} - \mu_0}{\mu_{mc} - \mu_{MEKC}} \quad (5.9)$$

พารามิเตอร์ต่าง ๆ ได้นิยามไว้แล้วก่อนหน้านี้ในสมการที่ 5.5 และ 5.6 จากจากอิเล็กโทรฟิโรแกรมของ MEKC ในรูปที่ 5.2b-d, ค่า  $k$  (ตารางที่ 5.2) สำหรับสารประกอบพาราเบนที่มีประจุลบซึ่งมีลำดับการออกดังนี้ BP > PP > IP > EP ซึ่งสอดคล้องกับลำดับของค่าคงที่การกระจายตัวของสารในออกทานอลและน้ำ BP > PP > EP [Poouthree et al.: 2007, Golden et al.: 2005, Tavares et al.: 2009]



รูปที่ 5.2 อิเล็กโทรโฟรีตограмของพาราเบนภายนอก (a) 0 CZE, (b) 20, (c) 40, และ 60 mM SDS ใน 10 mM บอร์ตบัฟเฟอร์ที่ปรับ pH ด้วย 1.0 M NaOH ภาวะอื่นๆ ของ CE: uncoated fused-silica capillary 50  $\mu\text{m}$  i.d.  $\times$  40.2 cm (30 cm ถึงเครื่องตรวจวัด) อุณหภูมิคงลักษณะ 25 °C, ศักยไฟฟ้า 15 kV, ตรวจวัดที่ 220 nm การบรรจุสารแบบอัดความดัน 0.5 psi เป็นเวลา 3 วินาที

จากรูปที่ 5.2d สำหรับการแยกใน MEKC ที่บัฟเฟอร์ประกอบด้วย 60 mM SDS พบร่วมกับลำดับของ  $t_m$  หรือ  $|\mu_{MEKC}|$  คือ BP > PP > IP > EP ซึ่งแตกต่างจากลำดับใน MEKC ที่บัฟเฟอร์ประกอบด้วย 20 mM SDS (รูปที่ 5.2b) BP > PP > EP > IP และใน CZE (รูปที่ 5.2a) EP > PP >



BP > IP พฤติกรรมการเคลื่อนที่ที่ต่างกันนี้สามารถอธิบายด้วย separation selectivity models ในหัวข้อ 5.3.1

ตารางที่ 5.2 Mobility selectivity ( $\alpha_{CZE}$ ), retention selectivity ( $\alpha_k$ ), retention factor ( $k_1$ ), selectivity ratio ( $\rho$ ), และชนิดของแบบจำลอง  $\alpha_{MEKC}$

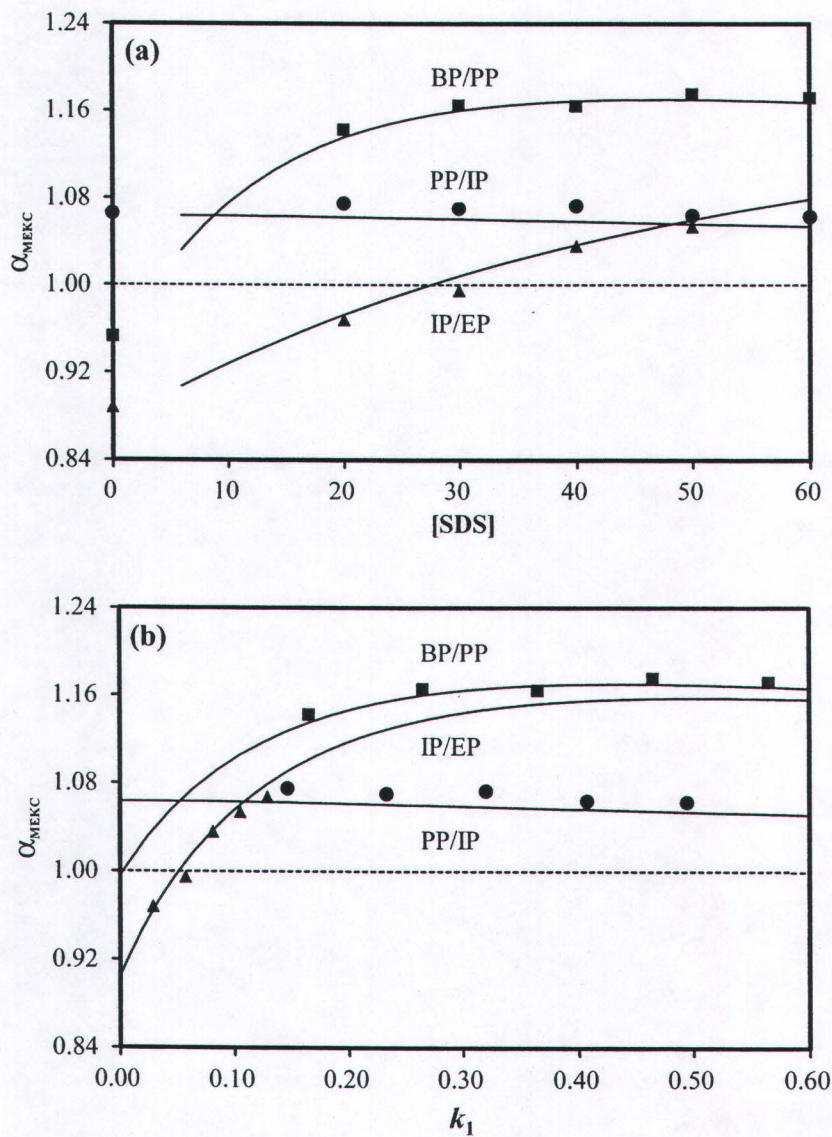
Pair	Solute 1	$k_1 = a[SDS] + b$	$\alpha_{CZE}$	$\alpha_k$	$\beta$	$\rho$	Types of model for $\alpha_{MEKC}$
IP/EP	EP	0.00236[SDS]-0.013	0.888	$k_{IP}/k_{EP}$	0.575	$\rho > 1$	III
PP/IP	IP	0.00871[SDS]-0.028	1.066	$k_{PP}/k_{IP}$	0.511	$\rho > 1$	I
BP/PP	PP	0.01004[SDS]-0.035	0.953	$k_{BP}/k_{PP}$	0.544	$\rho > 1$	III
	BP	0.03068[SDS]-0.057	-	-	-	-	-

รูปที่ 5.3 แสดงค่า  $\alpha_{MEKC}$  ที่ได้จากการทดลองและการทำนายสำหรับพาราเบนใน MEKC ภายใต้ภาวะที่มี [SDS] ต่าง ๆ (รูปที่ 5.3a) และค่า  $k_1$  ต่าง ๆ (รูปที่ 5.3b) พบว่าความสัมพันธ์แรกใช้ในการพิจารณา [SDS] ที่สามารถแยกสารออกจากกันหรือทำให้ลำดับการเคลื่อนที่ของสารเกิดการลับที่กัน ในขณะที่ความสัมพันธ์หลังใช้เปรียบเทียบค่าที่ได้จากการทดลองและค่าที่ได้จากการทำนายเมื่อไม่ทราบ [SDS] ค่า  $\alpha_{MEKC}$  ที่ได้การทำนายที่ [SDS] ต่าง ๆ (6.0-60 mM) คำนวณโดยใช้ข้อมูลในตารางที่ 5.2 และสมการที่ 5.7 ตารางที่ 5.2 แสดงค่า  $\alpha_{CZE}$ ,  $\alpha_k$ ,  $k$ ,  $\rho$  และแบบจำลองของ  $\alpha_{MEKC}$  ดังที่ได้อธิบายไว้ก่อนหน้านี้ สำหรับการแยกใน MEKC ของคู่สารหนึ่ง ๆ เช่น PP และ IP ค่า  $k_1$  นิยามเป็น  $k$  ของสารที่มีค่า  $k$  น้อยกว่า เช่น  $k_{IP}$  เมื่อใช้ [SDS] (20-60 mM) และเขียนกราฟระหว่างค่า  $k_1$  ที่ได้จากการทดลองกับ [SDS] จะได้กราฟเส้นตรง ซึ่งสามารถใช้ทำนายค่า  $k_1$  ที่ [SDS] ต่าง ๆ ได้ เมื่อใช้ข้อมูลจากตารางที่ 5.2 และสมการที่ 5.7 พบว่าค่า  $\alpha_{MEKC}$  ที่ได้จากการทดลองในรูปที่ 5.3 สอดคล้องกับค่าที่ได้จากการทำนาย แสดงให้เห็นว่าสมการที่ 5.7 สามารถใช้ในการทำนายค่า  $\alpha_{MEKC}$  ในช่วงของ [SDS] และค่า  $k_1$  ต่าง ๆ ได้

จากการอิเล็กโทรฟิโรแกรมในรูปที่ 5.2 และข้อมูลในตารางที่ 5.2 พบว่าค่า  $|\mu|$  ใน CZE และค่า  $k$  ใน MEKC มีลำดับที่เหมือนกัน นั่นคือ  $\alpha_{CZE} > 1.0$  และ  $\alpha_{MEKC} > 1.0$  แม้ว่าค่า  $\rho > 1.0$  แต่พบว่าค่า  $\alpha_{MEKC}$  ที่ได้จากการทำนายและจากการทดลองลดลงเพียงเล็กน้อยเมื่อเพิ่ม [SDS] และ  $k_1$  เนื่องจากค่า  $\rho$  ที่ได้จากการคำนวณนั้นมีค่าเปลี่ยนแปลงเล็กน้อยเท่ากับ 1.032 และ 1.072 สำหรับ 10-60 mM SDS ดังนั้นการเปลี่ยนแปลงของค่า  $\alpha_{MEKC}$  ของคู่สาร PP/IP ใน MEKC สอดคล้องกับแบบจำลอง  $\alpha_{MEKC}$  แบบที่ 1 ซึ่งได้อธิบายก่อนหน้านี้ในกรณีที่มีค่า  $\rho$  น้อยๆ

เนื่องจากคู่สาร IP/EP และ BP/PP เกิดการลับที่กันของค่า  $|\mu|$  ใน CZE และค่า  $k$  ใน MEKC และค่า  $\alpha_{CZE}$  มีค่าน้อยกว่า 1.0 ดังนั้นการลับลำดับของค่า  $|\mu|$  สำหรับคู่สาร IP/EP และ BP/PP ที่ [SDS] สูงและที่ [SDS] ต่ำ หรือเท่ากับศูนย์ สอดคล้องกับแบบจำลอง  $\alpha_{MEKC}$  แบบที่ 3 เมื่อค่า  $\alpha_{MEKC}$  เท่ากับ 1.0 พบว่าค่า  $k_1$  ที่ได้จากการทำนายในรูปที่ 5.3b มีค่าประมาณ 0.003 สำหรับ

BP/PP ที่ [SDS] ต่างๆ และเท่ากับ 0.052 สำหรับ IP/EP ซึ่งค่านี้สอดคล้องกับค่า  $k_1$  ที่ได้จากการทดลองเท่ากับ 0.064 นอกจากนี้พบว่าเมื่อใช้สมการที่ 5.8 และใช้ค่า  $\alpha_k$  เฉลี่ยเท่ากับ 3.831 สำหรับคู่สาร IP/EP ที่ 6.0-60 mM SDS ซึ่งให้ค่า  $\alpha_{MEKC}$  เท่ากับ 1.0 ได้ค่า  $k_1$  ที่ได้จากการคำนวณโดยใช้สมการที่ 5.3b (0.052)



รูปที่ 5.3  $\alpha_{MEKC}$  ที่ได้จากการทดลอง (สัญลักษณ์) และจากการคำนวณ (เส้นทึบ) สำหรับสารที่มีประจุสองตัวใน MEKC (a) ที่ [SDS] ต่างๆ (b) ที่ค่า  $k_1$  ต่างๆ สำหรับค่าที่ได้จากการคำนวณโดยใช้สมการที่ 5.7 และข้อมูลในตารางที่ 5.2

#### 5.4 สรุปผลการทดลอง

งานวิจัยนี้ได้แสดงให้เห็นว่าการเปลี่ยนแปลงของ separation selectivity ใน MEKC สำหรับสารที่มีประจุสองตัวในภาวะที่ความเข้มข้นของ SDS และค่า  $k$  ต่าง ๆ สามารถอธิบายและทำนายโดยใช้สมการและแบบจำลองทางทฤษฎีของ separation selectivity ใน MEKC ที่สัมพันธ์กับตัวแปรที่ไม่มีหน่วยของ mobility selectivity ใน CZE และ retention selectivity ใน MEKC เมื่อเปรียบเทียบกับ CZE พบว่า MEKC สามารถเพิ่มหรือลด separation selectivity ของสารที่มีประจุสองตัวได้ขึ้นอยู่กับแต่ละแบบจำลองทางทฤษฎี นอกจากนี้พบว่า separation selectivity ที่ได้จากการทดลองมีความสอดคล้องกับค่าที่ได้จากการทำนายโดยใช้แบบจำลองทางทฤษฎีของ MEKC ในภาวะที่ความเข้มข้นของ SDS และค่า  $k$  ต่าง ๆ

#### เอกสารอ้างอิง

- Terabe, S., Matsubara, N., Ishihama, Y., Okada, Y. "Microemulsion Electrokinetic Chromatography: Comparison with Micellar Electrokinetic Chromatography" *J. Chromatography*. **608** (1992) 23-29.
- Altria, K. D., Clark, B. J., Mahuzier, P. E. "The Effect of Operating Variables in Microemulsion Electrokinetic Capillary Chromatography" *Chromatographia* **52** (2000) 758-768.
- Pappas, T. J., Gayton-Ely, M., Holland, L. A. "Recent Advances in Micellar Electrokinetic Chromatography" *Electrophoresis* **26** (2005) 719-734.
- Iadarola, P., Ferrari, F., Fumagalli, M., Viglio, S. "Determination of Amino Acids by Micellar EKC: Recent Advances in Method Development and Novel Applications to Different matrices" *Electrophoresis* **29** (2008) 224-236.
- Terabe, S., Otsuka, K., Ando, T. "Electrokinetic Chromatography with Micellar Solution and Open-Tubular Capillary" *Analytical Chemistry*. **57** (1985) 834-841.
- Quirino, J. P., Terabe, S. "Electrokinetic Chromatography" *Journal of Chromatography A* **856** (1999) 465-482.
- Molina, M., Silva, M. "Micellar Electrokinetic Chromatography: Current Developments and Future" *Electrophoresis* **23** (2002) 3907-3921.
- Welsch, T., Michalke, D. "(Micellar) Electrokinetic Chromatography: an Interesting Solution for the Liquid Phase Separation Dilemma" *Journal of Chromatography A* **1000** (2003) 935-951.
- Terabe, S. "Capillary Separation: Micellar Electrokinetic Chromatography" *Annual Reviews of Analytical Chemistry* **2** (2009) 99-120.
- Riekkola, M. -L., Wiedmer, S. K., Valkó, I. E., Sirén, H. "Selectivity in Capillary Electrophoresis in the Presence of Micelles, Chiral Selectors and Non-Aqueous Media" *Journal of Chromatography A* **792** (1997) 13-35.
- Ehala, S., Vaher, M., Kaljurand, M. "Separation of Aromatic Hydrophobic Sulfonates by Micellar Electrokinetic Chromatography" *Journal of Chromatography A* **1161** (2007) 322-326.
- Gong, S., Liu, F., Li, W., Gao, F., Gao, C., Liao, Y., Liu, H. "Separation of Hydrophobic Solutes by Organic-Solvent-Based Micellar Electrokinetic

- Chromatography Using Cation Surfactants" *Journal of Chromatography A* **1121** (2006) 274-279.
- Dubber, M. J., Kanfer, I. "Application of Reverse-Flow Micellar Electrokinetic Chromatography for the Simultaneous Determination of Flavonols and Terpene Trilactones in Ginkgo Biloba Dosage Forms" *Journal of Chromatography A* **1122** (2006) 266-274.
- Mallampati, S., Leonard, S., De Vulder, S., Hoogmartens, J., Van Schepdael, A. " Method Development and Validation for the Analysis of Didanosine Using Micellar Electrokinetic Capillary Chromatography" *Electrophoresis* **26** (2005) 4079-4088.
- Česla, P., Blomberg, L., Hamberg, M., Jandera, P. " Characterization of Anacardic Acids by Micellar Electrokinetic Chromatography and Mass Spectrometry" *Journal of Chromatography A* **1115** (2006) 253-259.
- Damić, M., Nigović, B. " Fast Analysis of Statins in Pharmaceuticals by MEKC" *Chromatographia* **71** (2009) 233-240.
- Iadarola, P., Cetta, G., Luisetti, M., Annovazzi, L., Casado, B., Baraniuk, J., Zanone, C., Viglio, S. " Micellar Electrokinetic Chromatographic and Capillary Zone Electrophoretic Methods for Screening Urinary Biomarkers of Human Disorders: A Critical Review of the State-of-the-Art" *Electrophoresis* **26** (2005) 752-766.
- Téllez, A., Fuguet, E., Rosés, M. "Comparison of migration models for acidic solutes in micellar electrokinetic chromatography" *Journal of Chromatography A* **1139** (2007) 143-151.
- Giddings, J. C. "Generation of Variance, Theoretical Plates, Resolution, and Peak Capacity in Electrophoresis and Sedimentation" *Journal of Separation Science* **4** (1969) 181-189.
- Jorgenson, J. W., Lukacs, K. D. " Zone electrophoresis in open-tubular glass capillaries" *Analytical Chemistry* **53** (1981) 1298-1302.
- Nielsen, K. R., Foley, J. P., in: Camilleri, P. (Eds.) "Capillary Electrophoresis: Theory and Practice" CRC Press, Inc., Boca Raton 1993, pp. 117-161.
- Pyell, U. "Electrokinetic Chromatography: Theory, Instrumentation, and Application" John Wiley & Sons, West Sussex, 2006, pp. 4-10.
- Huang, H. -Y., Chiu, C. -W., Chen, Y. -C., Yeh, J. -M. "Comparison of microemulsion Electrokinetic Chromatography and Micellar Electrokinetic Chromatography as Methods for the Analysis of Ten Benzophenones" *Electrophoresis* **26** (2005) 895-902.
- Nhujak, T., Srisa-art, M., Kalampakorn, K., Tolieng, V., Petsom, A. " Determination of Gibberellic Acid in Fermentation Broth and Commercial Products by Micellar Electrokinetic Chromatography" *Journal of Agricultural and Food Chemistry* **53** (2005) 1884-1889.
- Huertas-Pérez, J. F., del Olmo Iruela, M., García-Campaña, A. M., González-Casado, A., Sánchez-Navarro, A. " Determination of the Herbicide Metribuzin and its Major Conversion Products in Soil by Micellar Electrokinetic Chromatography" *Journal of Chromatography A* **1102** (2006) 280-286.
- Huang, H. -Y., Lai, Y. -C., Chiu, C. -W., Yeh, J. -M. "Comparing Micellar Electrokinetic Chromatography and Microemulsion Electrokinetic Chromatography for the Analysis of Preservatives in Pharmaceutical and Cosmetic Products" *Journal of Chromatography A* **993** (2003) 153-164.
- Nhujak, T., Sastravaha, C., Palanuvej, C., Petsom, A. " Chiral Separation in Capillary Electrophoresis Using Dual Neutral Cyclodextrins: Theoretical Models of

- Electrophoretic Mobility Difference and Separation Selectivity"  
*Electrophoresis* **26** (2005) 3814-3823.
- Norinder, U., Lidén, P., Boström, H. "Discrimination Between Modes of Toxic Action of Phenols Using Rule Based Methods" *Molecular Diversity* **10** (2006) 207-212.
- Boyce, M., Spickett, E." Separation and Quantification of Preservatives Using ion Pair HPLC and CZE: An Extended Investigation of Separation Mechanisms"  
*Journal of Chemistry Education.* **77** (2000) 740-742.
- Jerez, G., Kaufman, G., Prystai, M., Schenkeveld, S., Donkor, K. K." Determination of Thermodynamic pKa Values of Benzimidazole and Benzimidazole Derivatives by Capillary Electrophoresis" *Journal of Separation Science* **32** (2009) 32, 1087-1095.
- Kenndler, E., in: Khaledi, M. G. (Eds.), "High Performance Capillary Electrophoresis: Theory, Techniques, and Applications" John Wiley & Sons, Inc., New York 1998, pp. 25-76.
- Téllez, A., Fuguet, E., Rosés, M. "Optimization of the Separation of Ionizable Compounds in Micellar Electrokinetic Chromatography by Simultaneous Change of pH and SDS Concentration" *Electrophoresis* **28** (2007) 3712-3721.
- Poouthree, K., Leepipatpiboon, N., Petsom, A., Nhujak, T. "Retention Factor and Retention Index of Homologous Series Compounds in Microemulsion Electrokinetic Chromatography Employing Suppressed Electroosmosis"  
*Electrophoresis* **28** (2007) 767-778.
- Golden, R., Gandy, J., Vollmer, G. "A Review of the Endocrine Activity of Parabens and Implications for Potential Risks to Human Health" *Critical Reviews in Toxicology* **35** (2005) 435-458.
- Tavares, R. S., Martins F. C., Oliveira, P. J., Ramalho-Santos, J., Peixoto, F. P."Parabens in Male Infertility-is There a Mitochondrial Connection?"  
*Reproductive Toxicology* **27** (2009) 1-7.